

bisher:

Analyse:

Atom \rightarrow Kern \rightarrow Nukleonen \rightarrow Quark \rightarrow keine
Leptonen Substrukturen

e.m., starke, schwache W.W.

Standardmodell

im Folgenden:

Synthese:

Aufbau komplexer Strukturen (gebundene
Zustände) aus elementaren Teilchen

Quarkonium

Mesonen

Baryonen

Kerne

↓
steigende Komplexität

13. Quarkonia : Charmonium + Bottomium

~ analoge Behandlung von H-Atom Positronium Charmonium

$p e^-$ $e^+ e^-$ $c \bar{c}$

stabil instabil instabil

Wasserstoff - Atom:

statisches Coulomb-Potential
nichtrelativistische Schrödinger-Gleichung

$$\left(-\frac{\hbar^2}{2m} \Delta - \frac{\alpha \hbar c}{r} \right) \psi(\vec{r}) = E \psi(\vec{r})$$

Energieniveaus: $E_n = -\frac{\alpha^2 m c^2}{2 n^2}$

Hauptquantenzahl $n = N + l + 1$ ($N+1 = n_r =$ Radialquantenzahl)

↑ ↑ Bahndrehimpuls

Knoten in Radial-Wellenfunktion

$E_1 = -13.6 \text{ eV}$

Bohrscher Radius: $r_B = \frac{\hbar c}{\alpha m c^2} = 0.5 \cdot 10^{-5} \text{ fm}$ (Proton-Radius $\sim 1 \text{ fm}$)

Wellenfunktion $\psi(\vec{r}) = R_{n,l}(r) \cdot Y_{l,m}(\theta, \varphi)$

Radial-WF Winkelabh. WF

kleine Korrekturen zu den entarteten Energieniveaus:

„Feinstruktur“: Spin-Bahn-WW $\propto \alpha^2$, $O(10^{-4})$

„Hyperfinestruktur“: Spin-Spin-WW $\propto \alpha^2 \frac{M_p}{M_e}$, $O(10^{-7})$

Notation: $n l_j$ mit $\vec{j} = \vec{l} + \vec{s}$ und $\vec{F} = \vec{j} + \vec{i}_{\text{Proton}}$

$l = \begin{cases} 0 & 1 & 2 & 3 & \dots \\ s & p & d & f & \dots \end{cases}$

System bisher: Proton in Ruhe, Elektron bewegt sich um ruhendes Proton.

Besser: Bewegung beider Teilchen im Schwerpunktsystem
 \Rightarrow gleicher Formalismus, aber ersetze Masse des Elektrons durch „reduzierte Masse“:

$$m = \frac{M_p \cdot m_e}{M_p + m_e} \approx m_e \left(1 - \frac{m_e}{M_p} \right) \approx m_e$$

(Praktisch kein Unterschied, weil $M_p \gg m_e$)

Positronium :

„Atom“ aus Positron und Elektron,
Proton durch Positron ersetzt.

Potential wieder a.u.m. $\frac{1}{r}$, aber jetzt
haben beide Partner gleiche Masse

reduzierte Masse:

$$m = m_e / 2$$

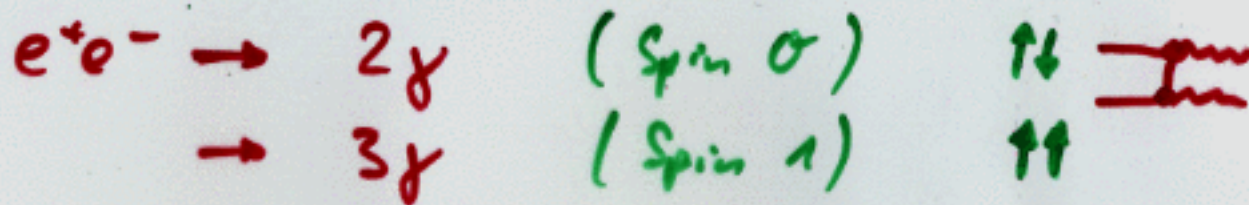
$$\Rightarrow E_B \quad \times 2 \quad \text{kleiner}$$

$$r_B \quad \times 2 \quad \text{größer}$$

Spin-Spin - Wechselwirkung größer

$$\frac{\mu_p}{\mu_e} \rightarrow \frac{\mu_e}{\mu_e} = 1$$

Zerfall in Photonen:



Abschätzung der Lebensdauer von Spin 0 - Positronium:

$\Gamma_{2\gamma} \propto \frac{d^2}{r_B^3 \cdot m^2}$ ← Kopplung an 2 Photonen (2 Vertices)

gibt korrekte Dimension

$\Gamma_{2\gamma} \propto d^5 \cdot m \approx 10^{-10} \text{ s}$ ✓
 $\Gamma_{3\gamma} \sim 10^{-7} \text{ s}$ ✓

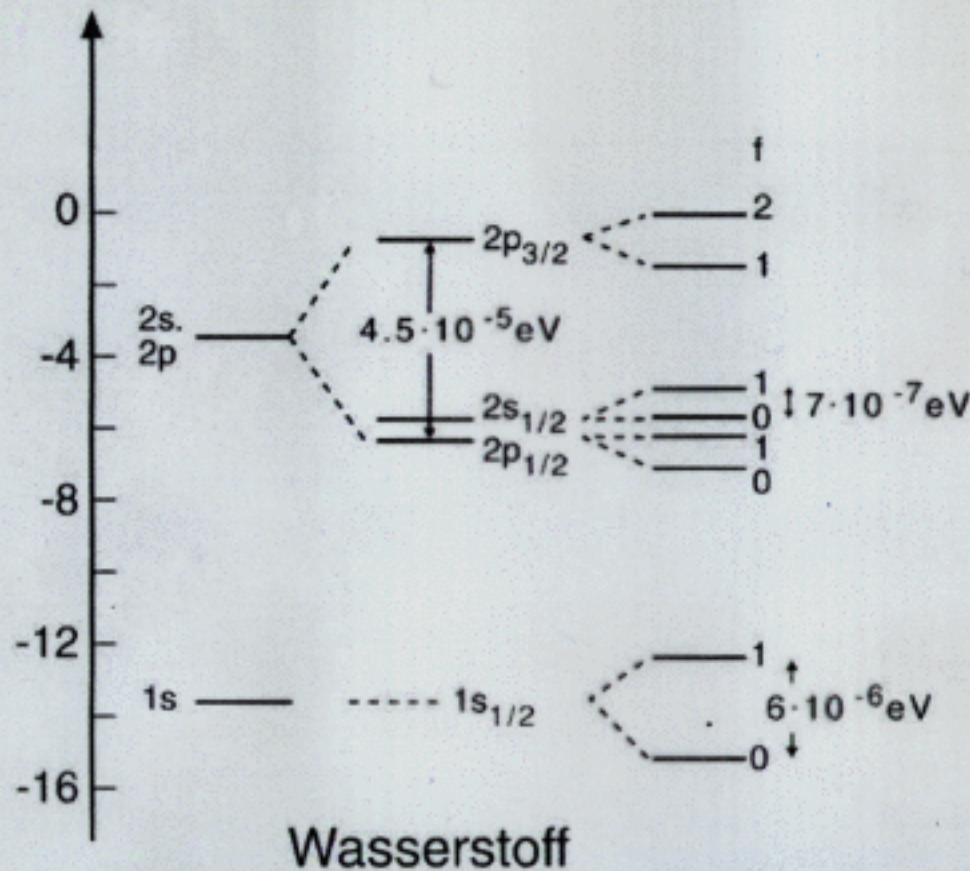
Überlappvolumen; $r_B = \frac{h c}{d m}$

präzise QED-Rechnungen stimmen gut mit Exp. überein

$n l_j$

(keine Symmetrie zw. p und e)

Bindungsenergie [eV]



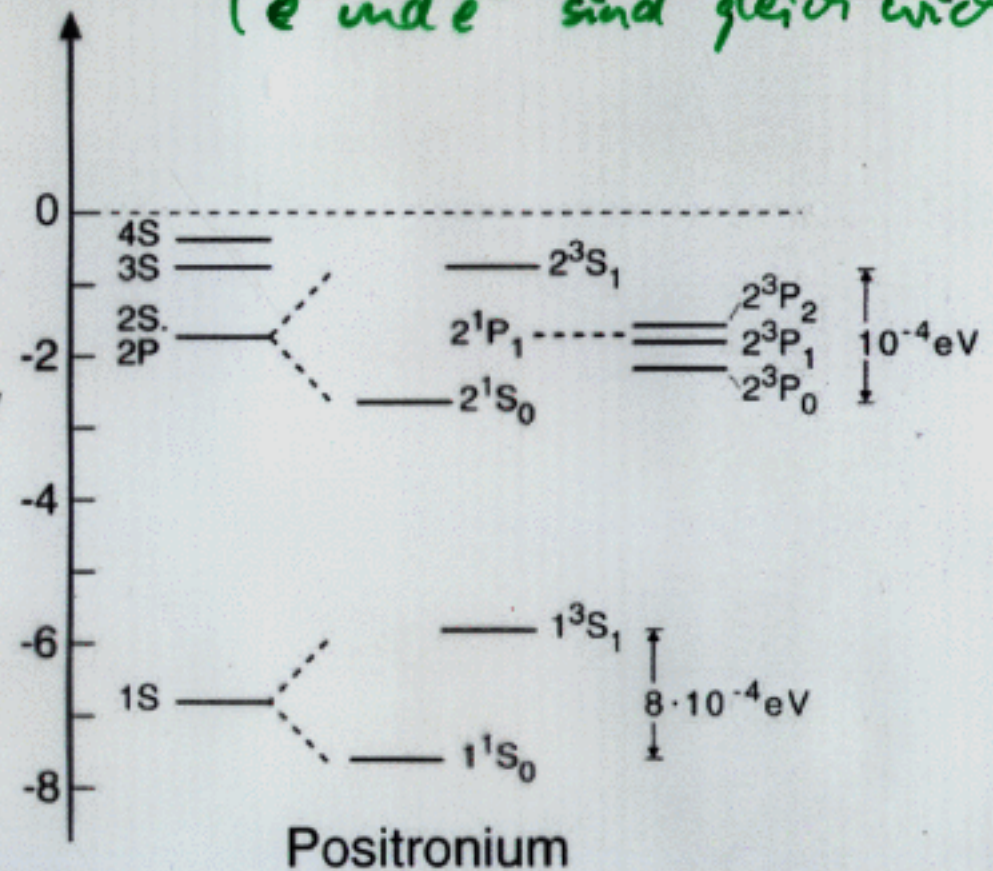
Wasserstoff

$2S+1$
 $n L_j$

$$|L-S| \leq J \leq L+S$$

Bindungsenergie [eV]

(e^+ und e^- sind gleich wichtig!)



Positronium

wichtig:

$$\vec{l} \oplus \vec{s}_e = \vec{j}$$

Bahndrehimpuls
Spin des
Elektrons

$$\vec{j}^+$$

Kernspin

kleine
Korrektur:

wichtig:
(und symmetrisch!)

$$\vec{s}_{e^+} + \vec{s}_{e^-} \rightarrow \vec{S}$$

Gesamtspin

dann:
 \vec{j}_+, \vec{j}_- spielt keine
Rolle!

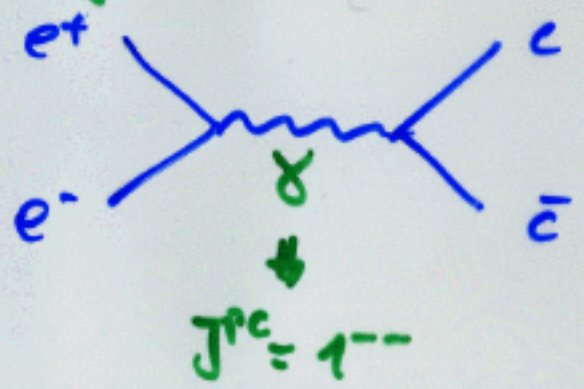
$$\vec{S} + \vec{L} \rightarrow \vec{J}$$

Charmonium

gebundene $c\bar{c}$ -Zustände; Notation: $n = N+1$

Bei Mesonen: $n = n_r$ in der Atomphysik

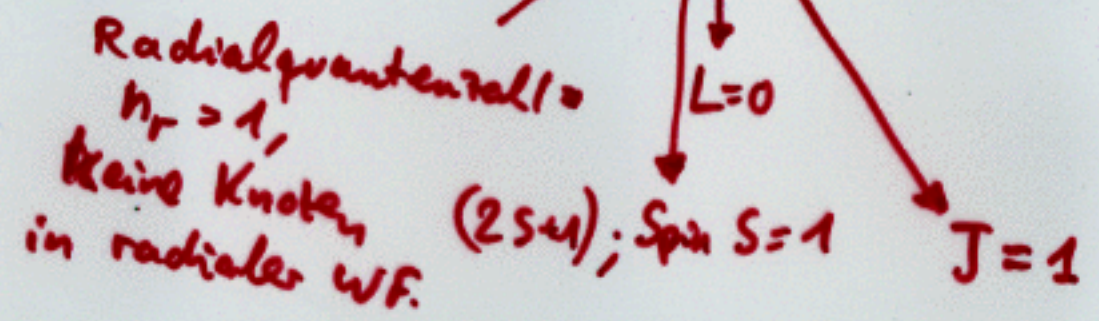
Erzeugung von 1^{--} -Zuständen in e^+e^- -Annihilation durch virtuelles Photon



J/ψ (3097)

Ting, Richter 1974

ist 1^3S_1 - Zustand von $c\bar{c}$

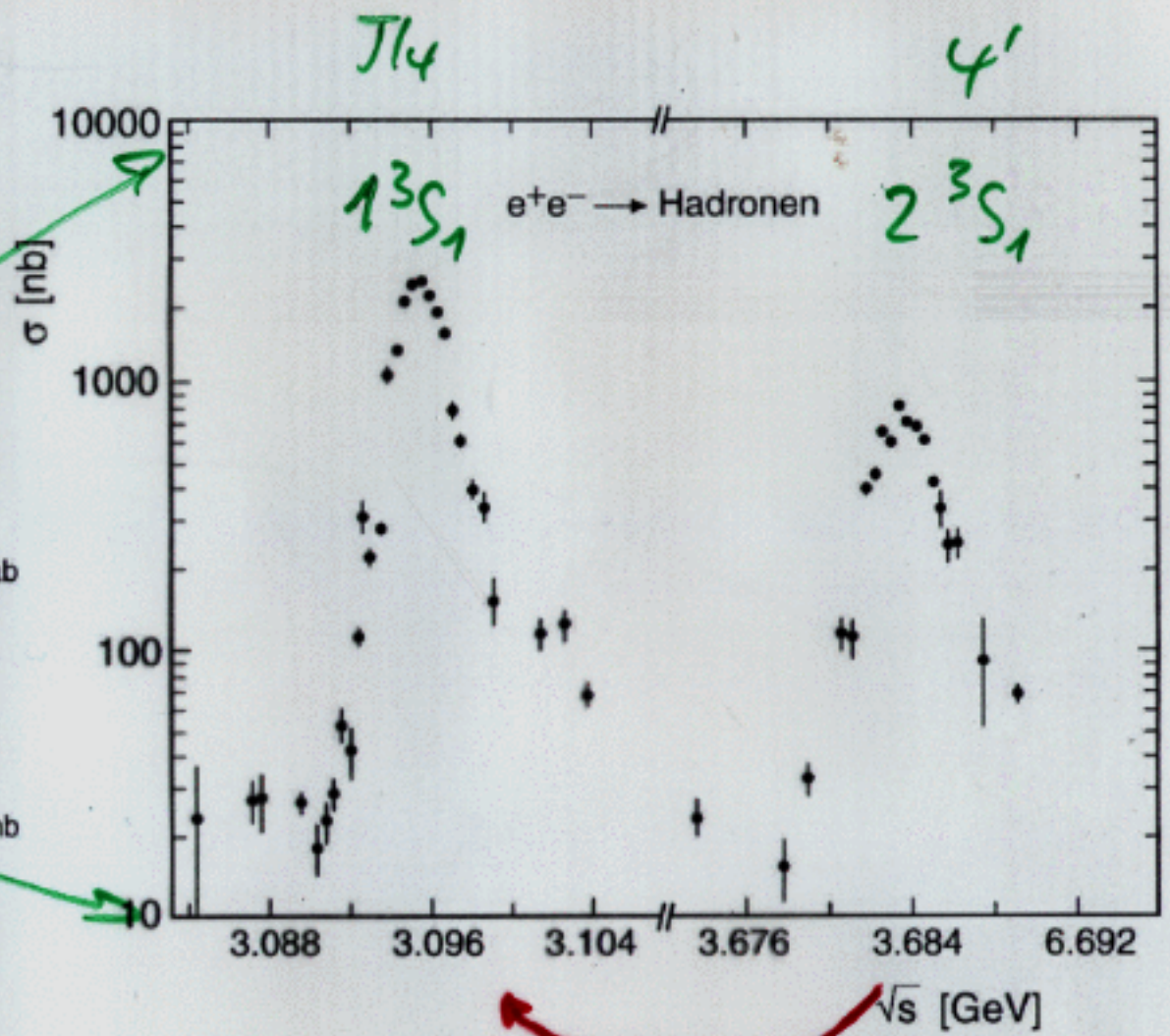
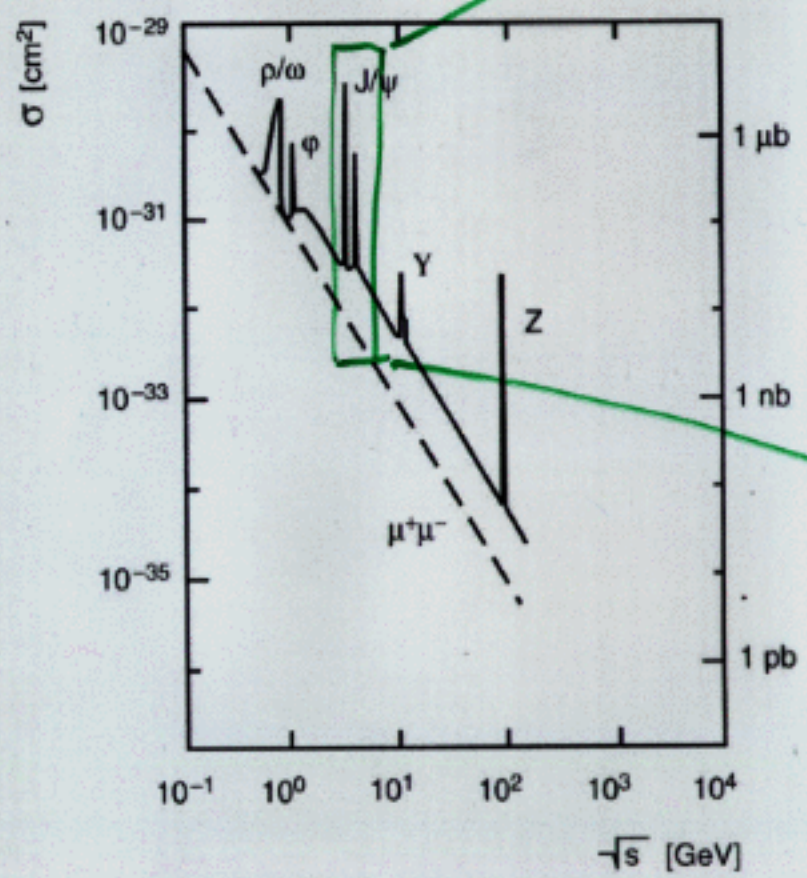


e^+e^- - Annihilationen

$n^{2S+1} L_J$

$n^3 S_1 \leftrightarrow 1^{--}$

$\sigma(e^+e^- \rightarrow \text{Hadronen})$



$\Delta E = 600 \text{ MeV}$

Zerfall u.a. über $J/\psi \pi^+\pi^-$
 Photonische Zerfallskaskaden
 wie in Atomphysik
 hermetische Niederenergie- γ -Detektor
 erforderlich

Richter nannte
 (Ting = J)
 etwas später

die neue Resonanz ψ .
 $\psi(2S) \rightarrow \psi \pi^+ \pi^-$
 $\hookrightarrow e^+ e^-$

73-7

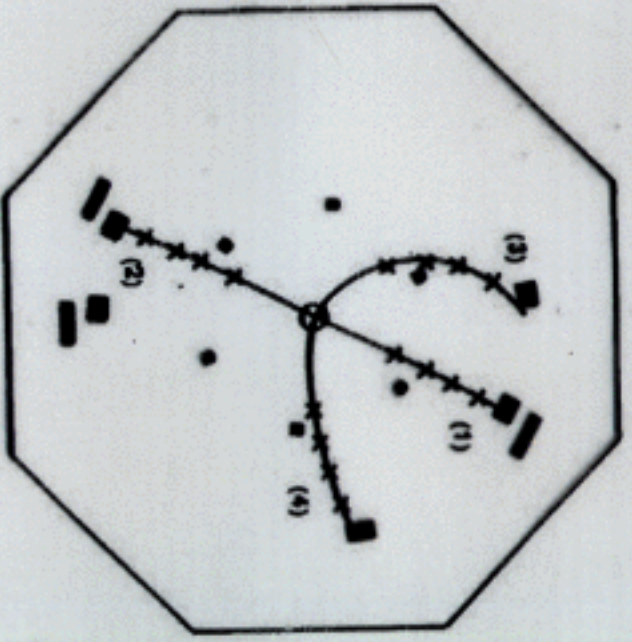
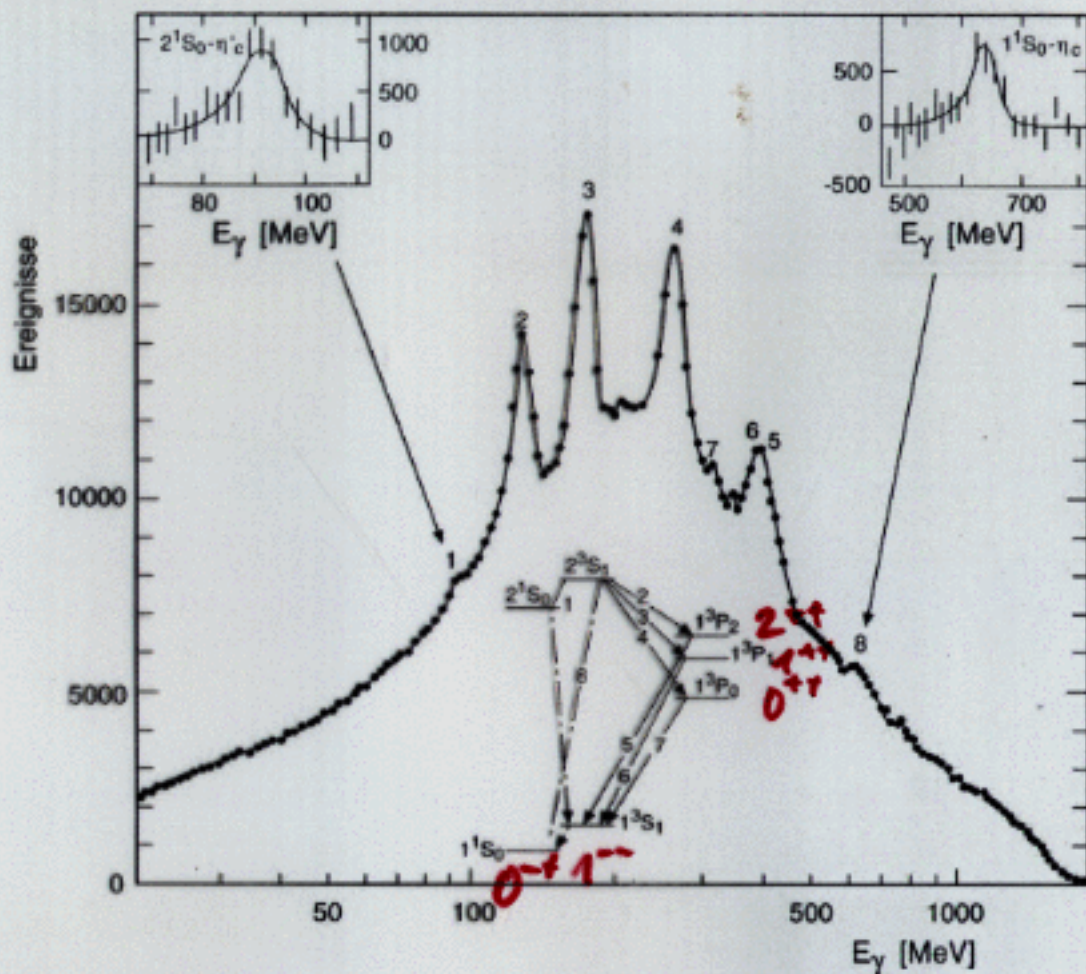
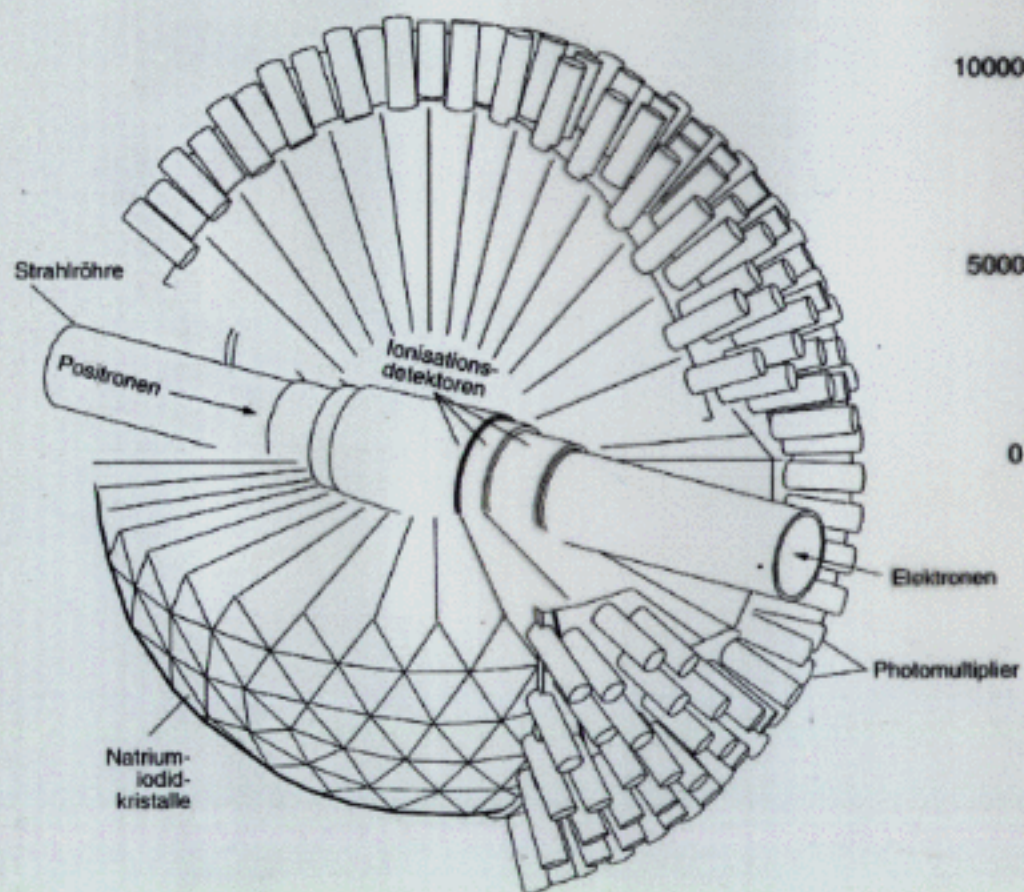


Fig. 4.4. Example of the decay $\psi(3,7) \rightarrow \psi(3,1) + \pi^+ + \pi^-$ observed in a spark chamber detector. The $\psi(3,1)$ decays to $e^+ + e^-$. Tracks (3) and (4) are due to the relatively low energy (150 MeV) pions, and (1) and (2) to the 1.5 GeV electrons. The magnetic field in the SPEAR beam pipe are normal to the plane of the figure. The trajectory shown for each particle is the best fit through the sparks, indicated by crosses. (From Abrams et al. 1975)

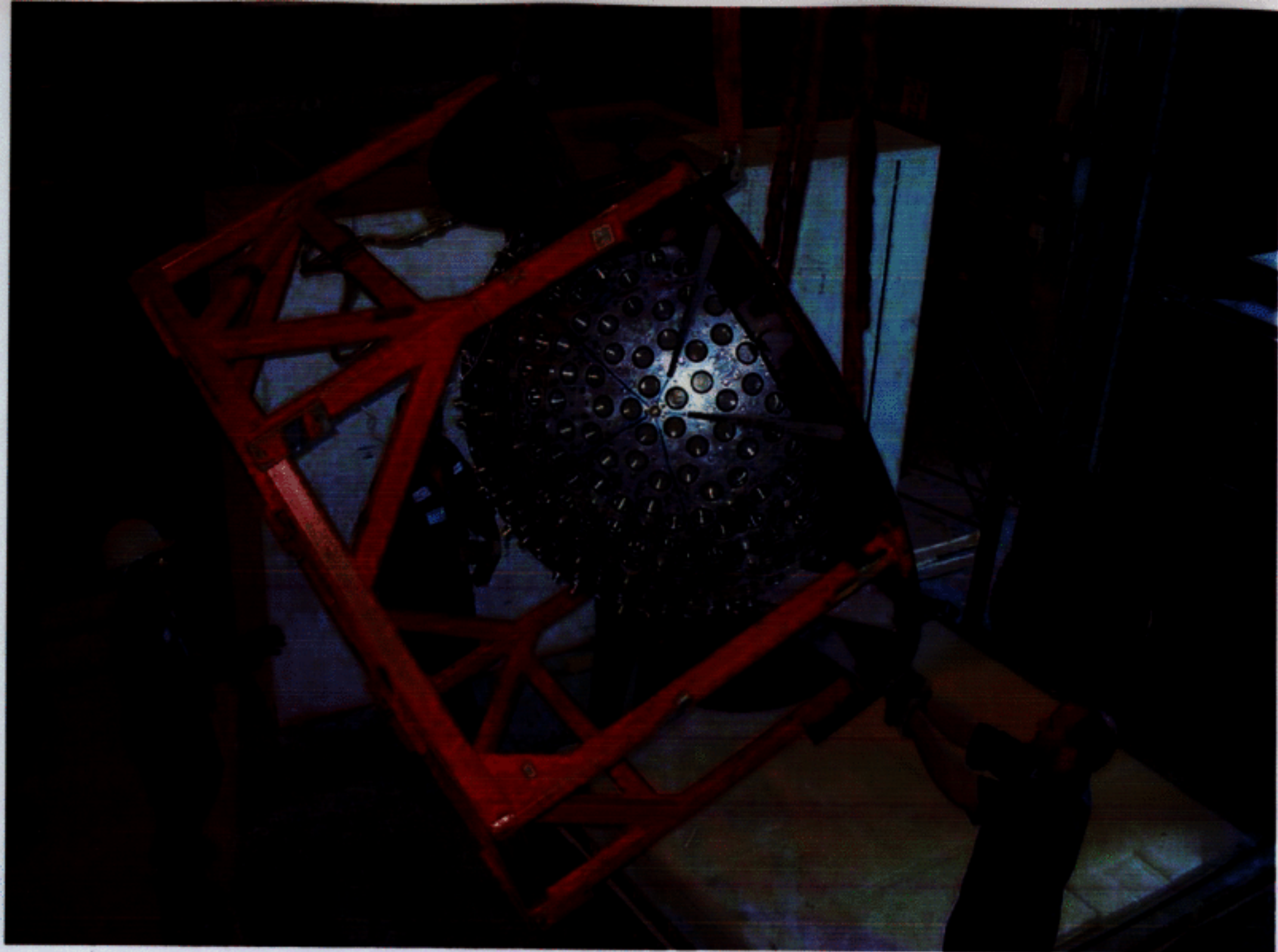
4 schreit der
 richtig Name
 zu sein

Charmonium - Spektroskopie

„Crystal-Ball“ Detektor



γ-Spektrum im
Zerfall des $\psi(2^3S_1)$



73-9

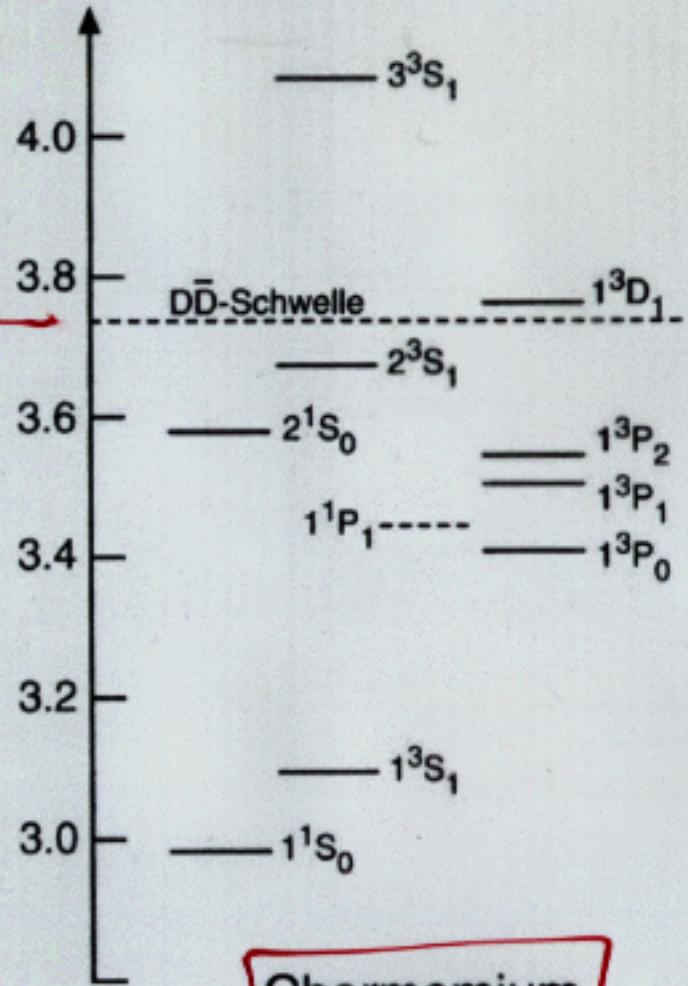


$\times 10^9$ (starke Wechselwirkung !!)

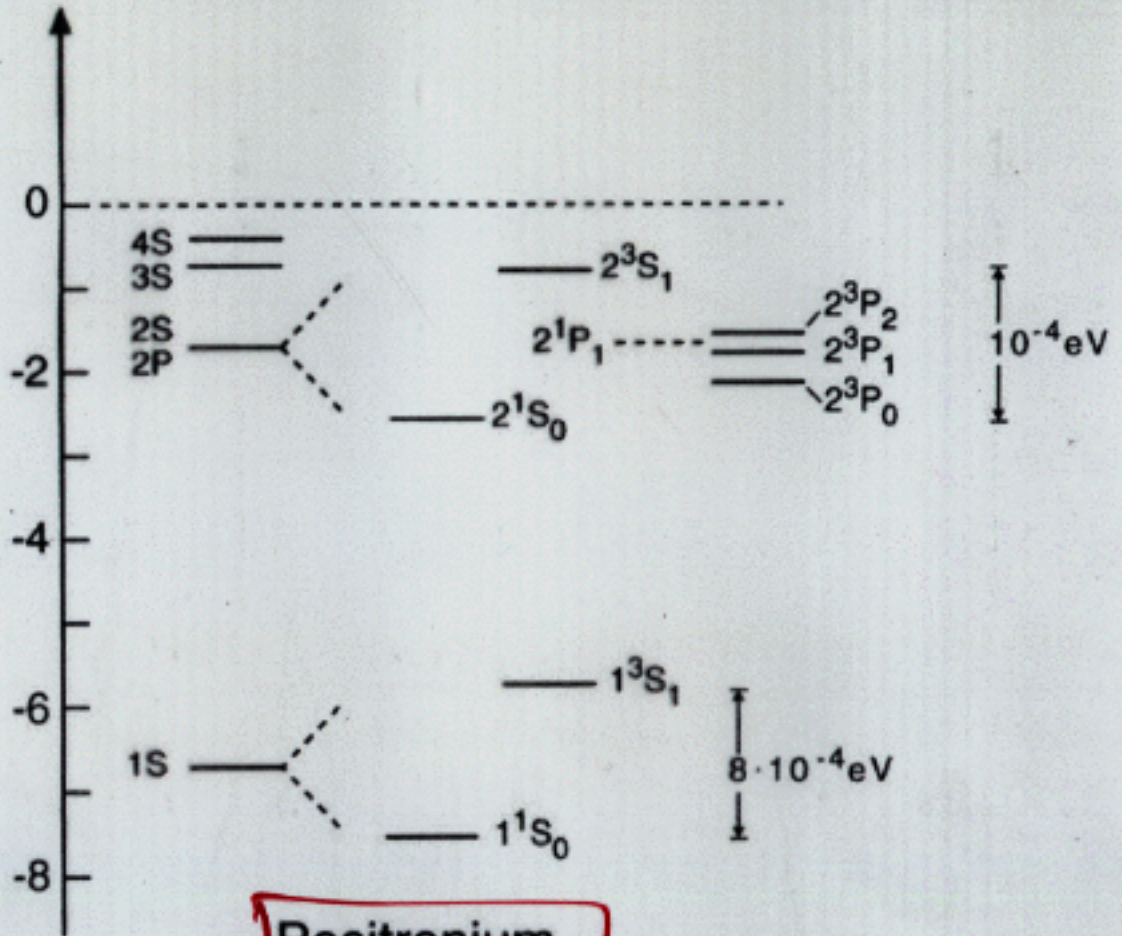
Masse [GeV/c²]

Bindungsenergie [eV]

zerfall
in
offenen
Charms
möglich
↑



Charmonium



Positronium

gleiche Symmetrie,
aber anderes Potential!

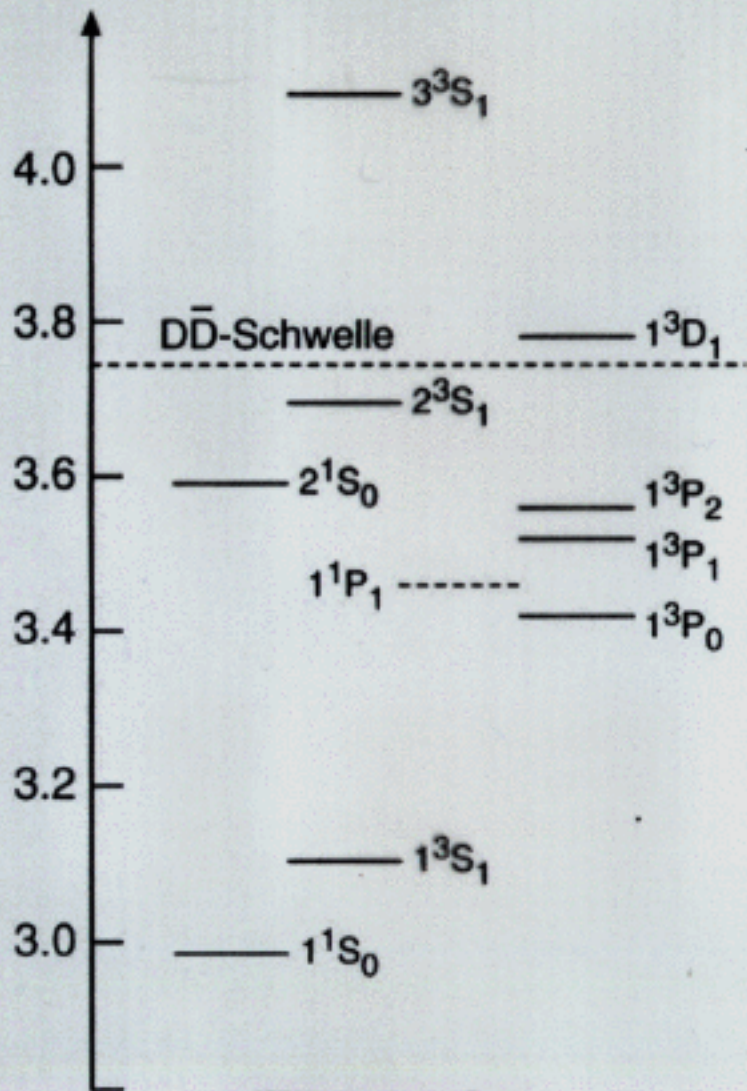
$c\bar{c}$

$b\bar{b}$

Zustände werden breit

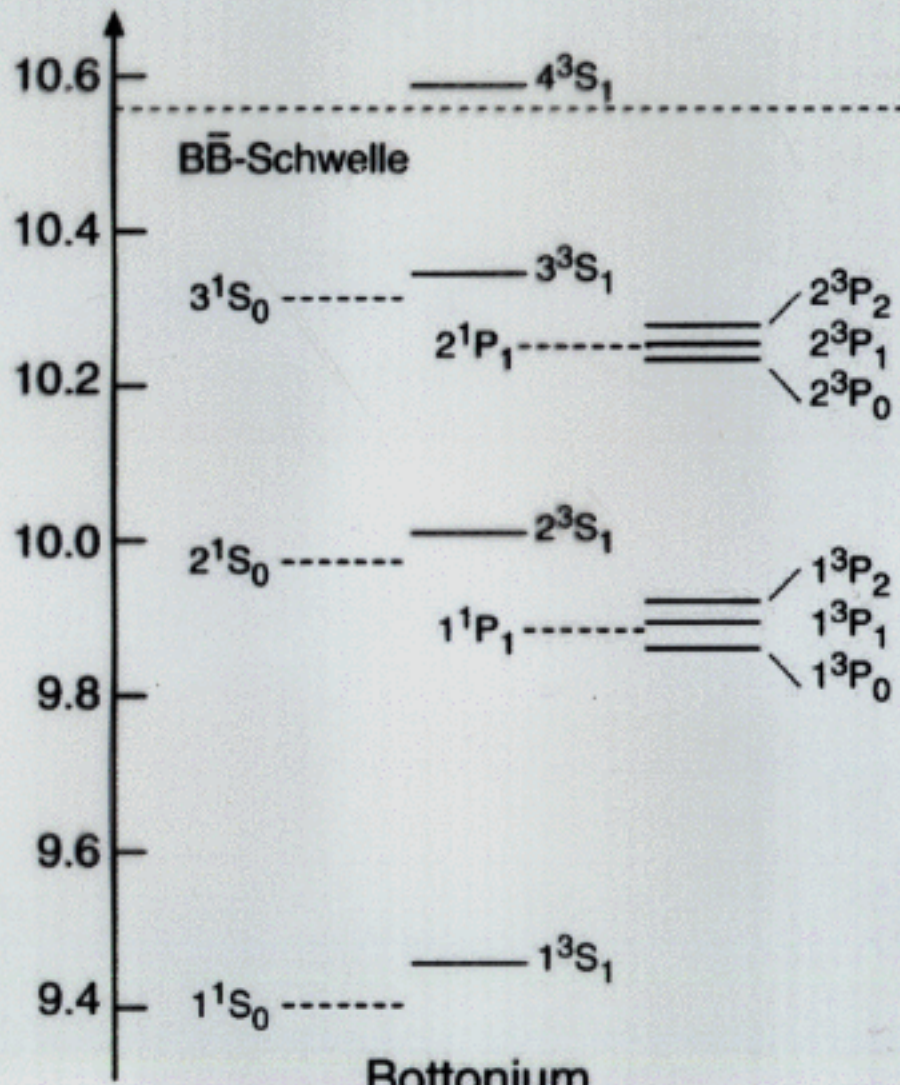
↑

Masse [GeV/c^2]



Charmonium

Masse [GeV/c^2]



Bottonium

Zustände werden breit

↑

QCD-Potential

kleine Abstände:
asymptotic freedom
wie e.m., Potential $\propto 1/r$

Ansatz:

$$V = -\frac{4}{3} \frac{\alpha_s(r) \hbar c}{r} + k \cdot r$$

+ kinetische Terme $f(m_c)$

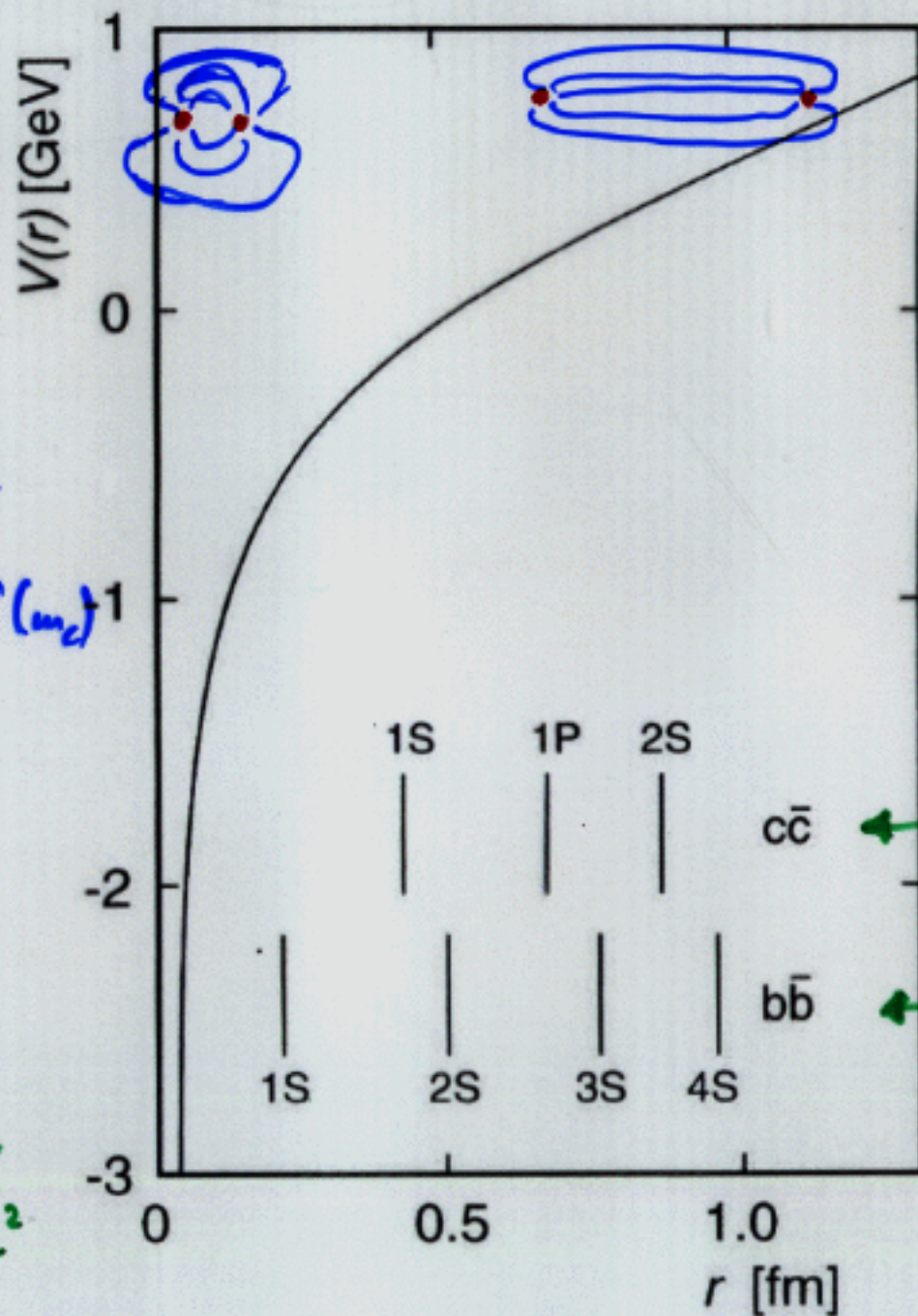
$$\alpha_s = 0.15 - 0.25$$

$$k \approx 1 \text{ GeV / fm}$$

$$m_c \approx 1.5 \text{ GeV}$$

$$\alpha_s(r) \leftrightarrow \alpha_s(Q^2)$$

$$\alpha_s(Q^2) = \frac{12\pi}{(33 - 2n_f) \cdot \ln \frac{Q^2}{\Lambda^2}}$$



große Abstände:
Confinement
 $\propto r$

"Radien" der
 $c\bar{c}$ und $b\bar{b}$ -
Systeme
 \approx Abstand der
Quarks